# T2. Formación de la Imagen

# Fundamentos de Visión por Computador

Sistemas Informáticos Avanzados



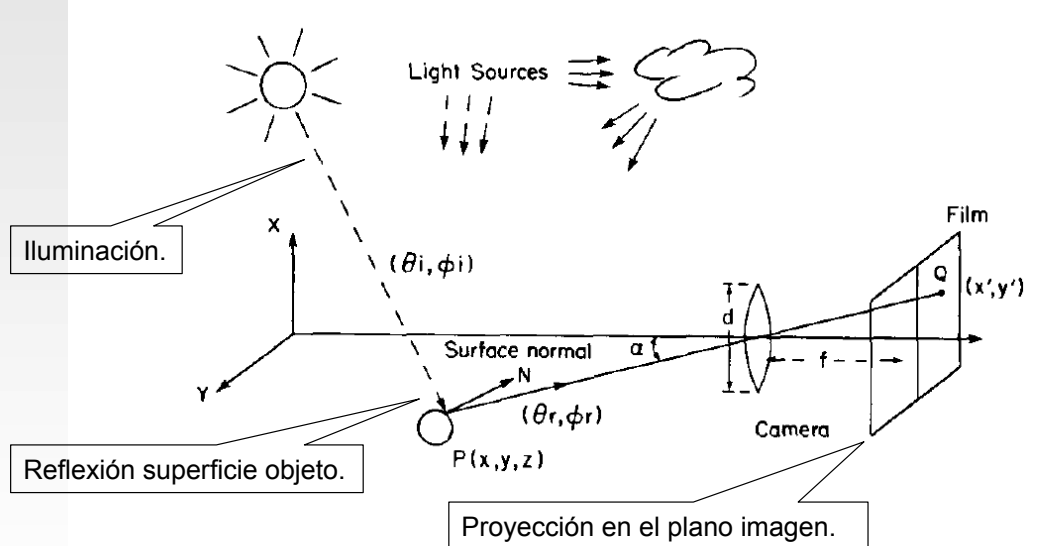


### Índice

- Formación de la imagen.
- Modelos de proyecciones
  - Modelo "pinhole" (perspectiva)
  - · Perspectiva débil.
  - Perspectiva ortográfica
- Sistemas ópticos.
  - · Cámaras con lentes.
  - Lentes. Óptica paraxial.
  - · Lentes reales.



# Formación de la imagen



T2. Formación de la Imagen

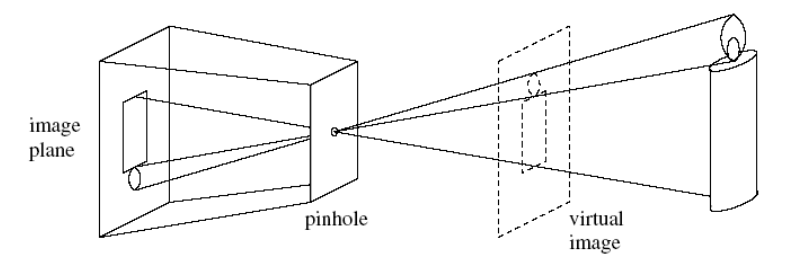
3



# Proyección 3D-2D



Proyección de un objeto 3D en una imagen (plano) 2D.

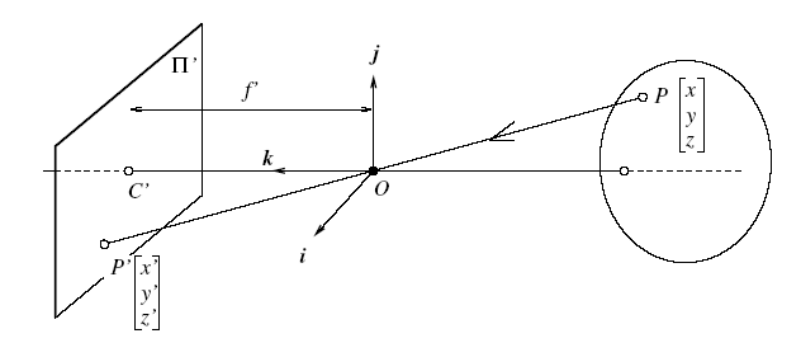


Modelo "pinhole"

T2. Formación de la Imagen



## Proyección de perspectiva



$$\begin{cases} x' = \lambda x \\ y' = \lambda y \\ f' = \lambda z \end{cases} \iff \lambda = \frac{x'}{x} = \frac{y'}{y} = \frac{f'}{z}$$
 
$$\begin{cases} x' = f' \frac{x}{z} \\ y' = f' \frac{y}{z} \end{cases}$$

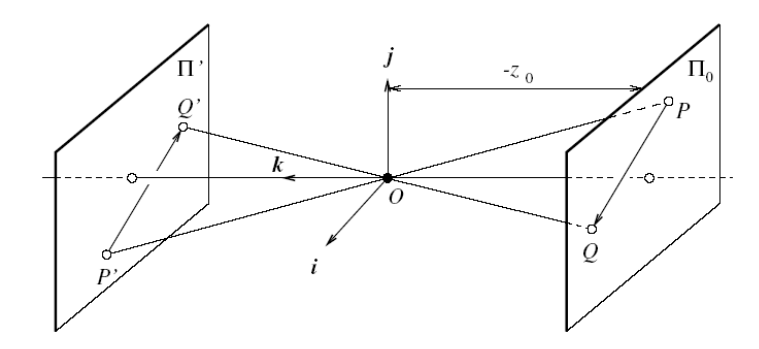
Ecuaciones de perspectiva proyectiva

T2. Formación de la Imagen

5



# Proyección perspectiva débil

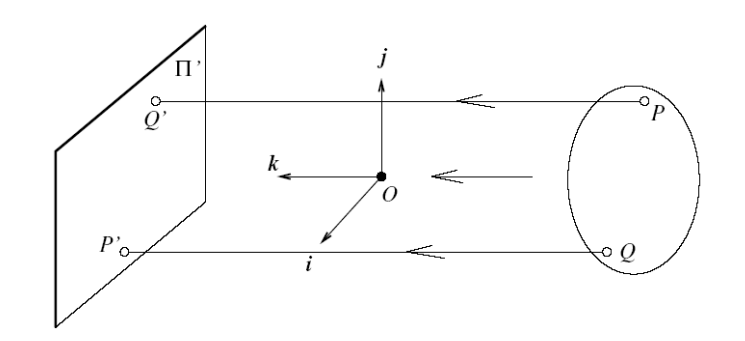


$$\begin{cases} x'=f'\frac{x}{z} \\ y'=f'\frac{y}{z} \end{cases} \qquad m=-\frac{f'}{z_0} \qquad \begin{cases} x'=-mx \\ y'=-my \end{cases}$$
 Todos los puntos aproximadamen

Todos los puntos aproximadamente en el mismo plano.



# Proyección ortográfica



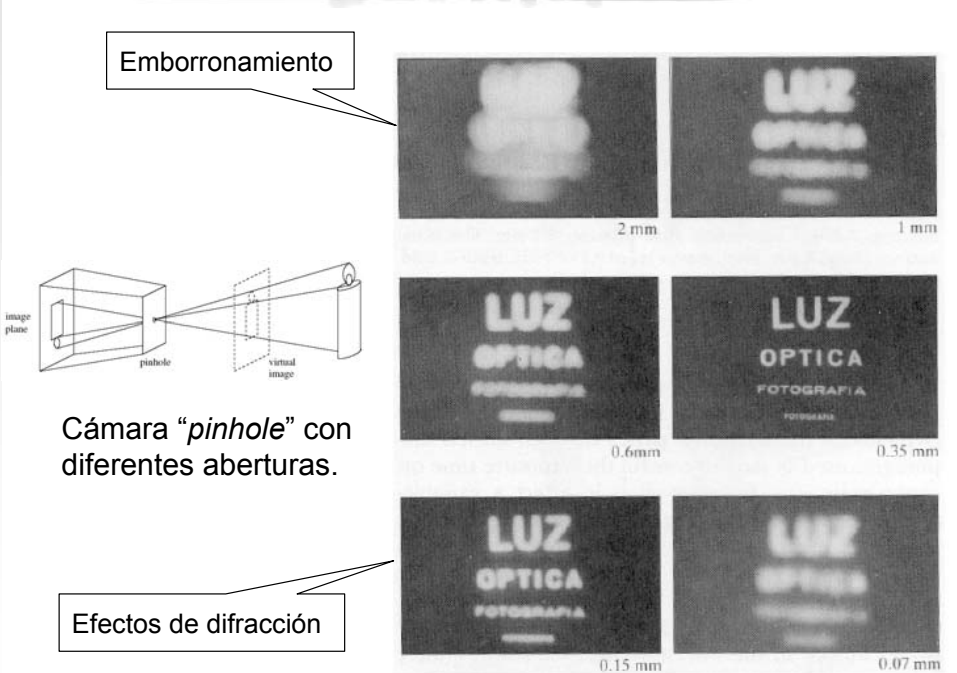
$$\begin{cases} x' = -mx \\ y' = -my \end{cases} \qquad m = -1 \qquad \begin{cases} x' = x \\ y' = y \end{cases}$$

T2. Formación de la Imagen

7

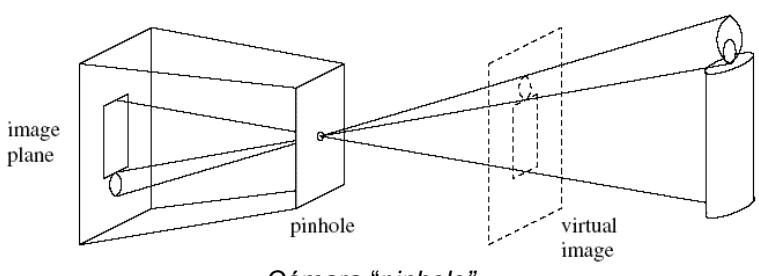


### Cámaras con lentes



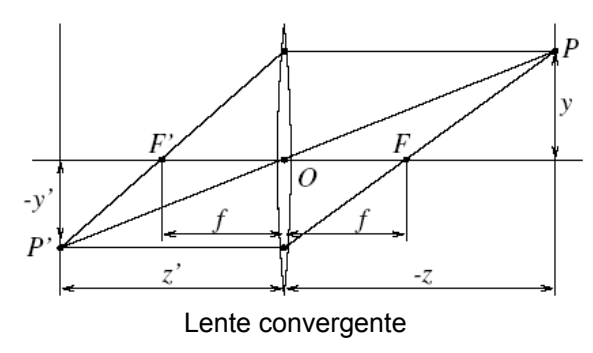


### Cámaras con lentes



Cámara "pinhole"

- Óptica geométrica:
  - Rayos de luz.
  - Líneas rectas.

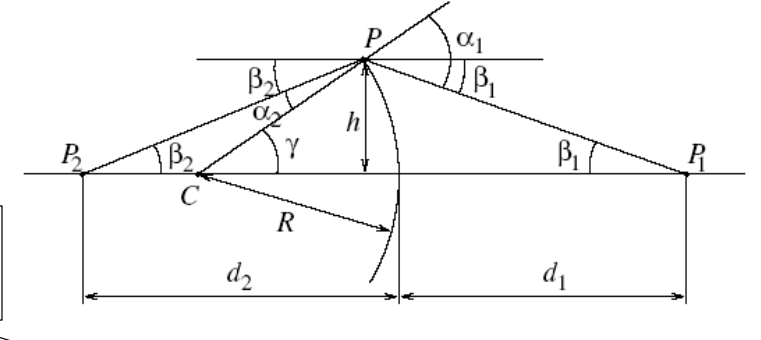


T2. Formación de la Imagen

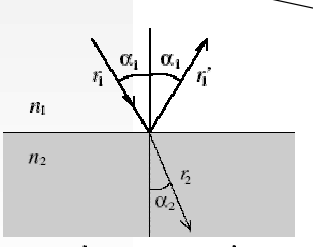
9



# Óptica paraxial



Ángulos pequeños, en primero orden, aprox. igual al seno y la tangente.



 $n_1 \sin \alpha_1 = n_2 \sin \alpha_2$ Refacción de la luz

 $lpha_1 = \gamma + eta_1 pprox h(rac{1}{R} + rac{1}{d_1}) \quad lpha_2 = \gamma - eta_2 pprox h(rac{1}{R} - rac{1}{d_2})$ 

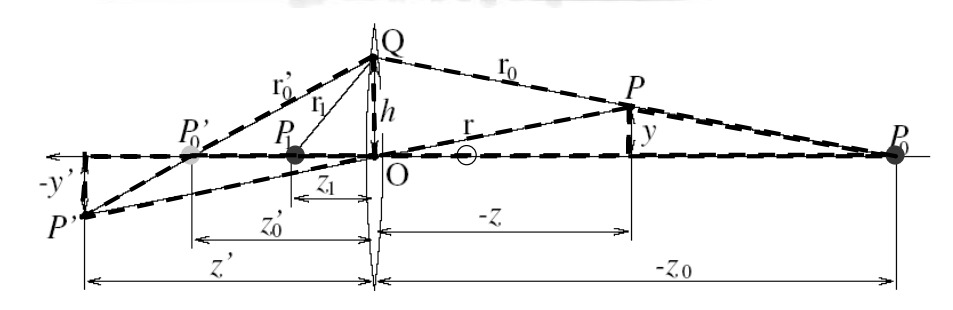
$$n_1lpha_1pprox n_2lpha_2 \Longleftrightarrow rac{n_1}{d_1}+rac{n_2}{d_2}=rac{n_2-n_1}{R}$$

Ecuación de refracción paraxial

T2. Formación de la Imagen



### Lentes



$$egin{aligned} rac{1}{-z_0} + rac{n}{z_1} &= rac{n-1}{R} \ rac{n}{-z_1} + rac{1}{z_0'} &= rac{1-n}{-R} \end{aligned}$$

$$rac{1}{z_0'} - rac{1}{z_0} = rac{1}{f}$$
  $f = rac{R}{2(n-1)}$ 

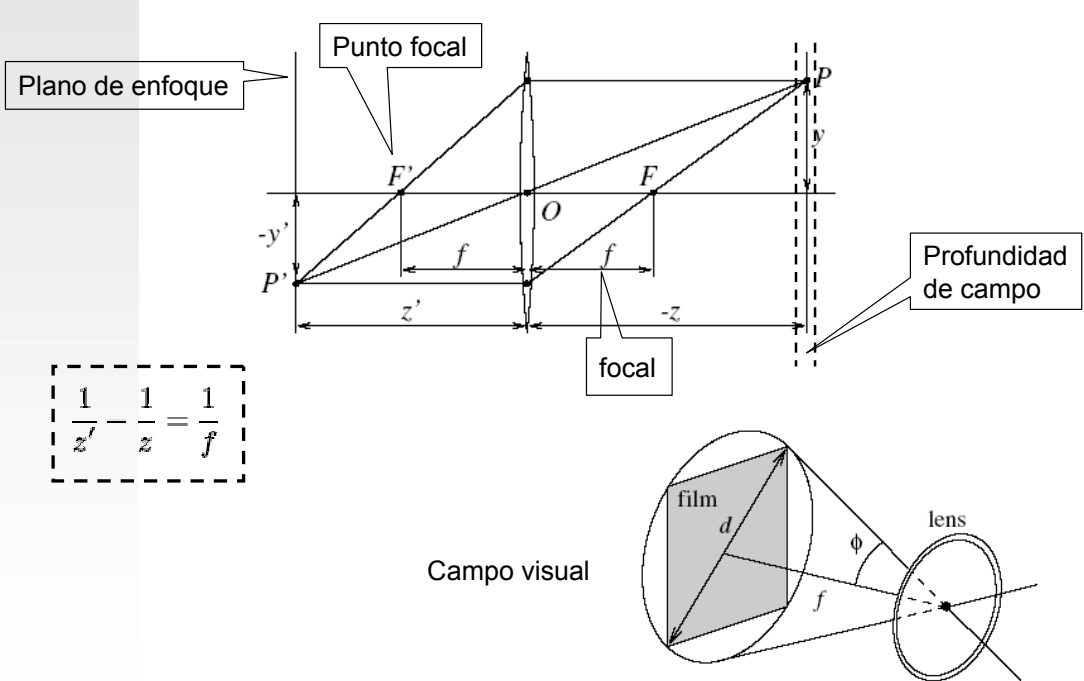
$$\left\{ \begin{array}{l} \frac{1}{z'} - \frac{1}{z} = \frac{1}{f} \end{array} \right\} \left\{ \begin{array}{l} \frac{y}{h} = \frac{z - z_0}{-z_0} = (1 - \frac{z}{z_0}), \\ \frac{-y'}{h} = \frac{z' - z'_0}{z'_0} = -(1 - \frac{z'}{z'_0}), \\ \frac{y'}{z'} = \frac{y}{z}. \end{array} \right.$$

T2. Formación de la Imagen

11



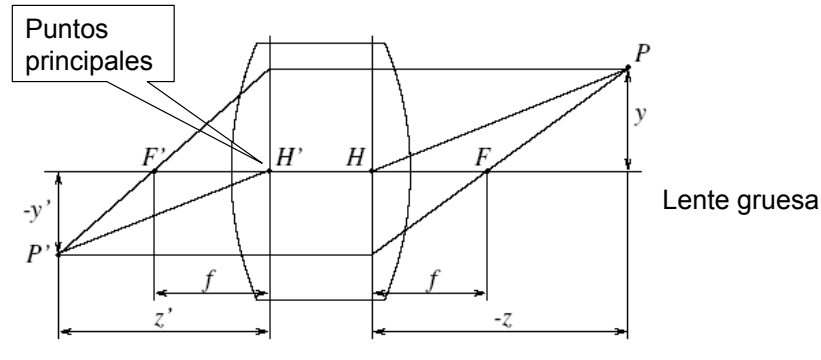
### Lentes

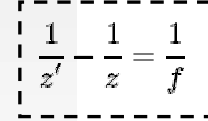


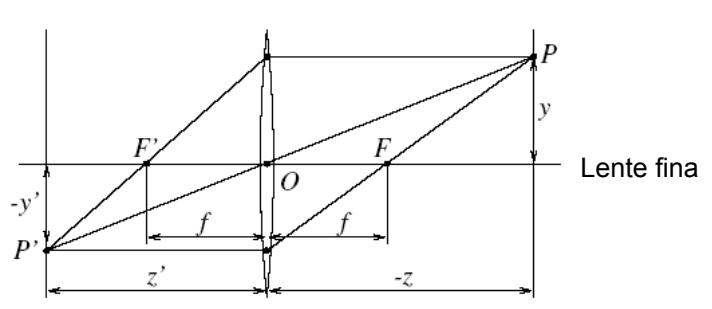
T2. Formación de la Imagen



# Lentes reales







T2. Formación de la Imagen

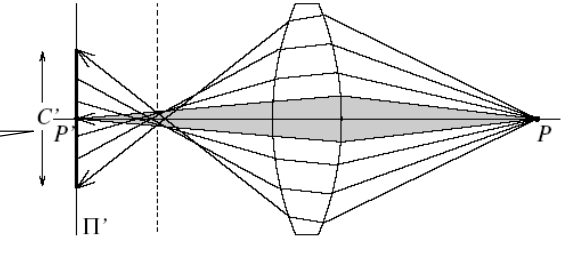
13



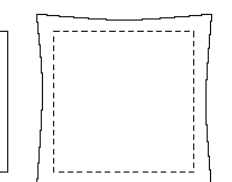
### Lentes reales. Aberraciones

Aberraciones esféricas.

Círculo de confusión



- Aberraciones primarias:
  - · Coma.
  - Astigmatismo.
  - Distorsión.
  - Curvatura de campo.





Distorsión: corsé, barril.

$$\sin \alpha = \alpha - \frac{\alpha^3}{2!} + \frac{\alpha^5}{5!} - \frac{\alpha^7}{7!} + \dots$$

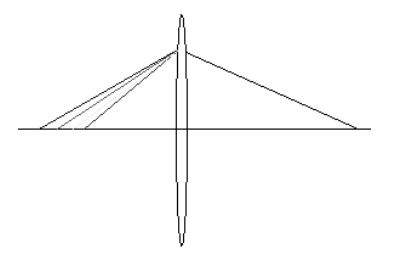
$$\sin\alpha = \alpha - \frac{\alpha^3}{3!} + \frac{\alpha^5}{5!} - \frac{\alpha^7}{7!} + \dots \qquad \frac{n_1}{d_1} + \frac{n_2}{d_2} = \frac{n_2 - n_1}{R} + h^2 \left[ \frac{n_1}{2d_1} (\frac{1}{R} + \frac{1}{d_1})^2 + \frac{n_2}{2d_2} (\frac{1}{R} - \frac{1}{d_2})^2 \right]$$

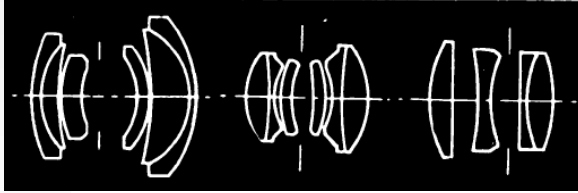


### Lentes reales. Aberraciones

Aberraciones cromáticas: n(λ)

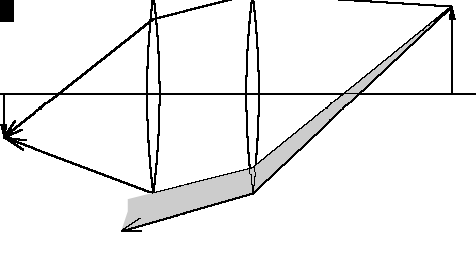






Lentes fotográficas

Efecto de "viñeteado"



T2. Formación de la Imagen

15



### **Bibliografía**

### Básico:

- Forsyth, D.A. and Ponce, J.; Computer Vision: A Modern Approach, Prentice Hall, 2003.
- Complementarios:
  - Jähne, B. *Practical Handbook on Image Processing for Scientific Applications*, CRC Press, 1997.
  - Jain, R.; Kasturi, R.; and Schunck, B.G.; *Machine Vision*, McGraw-Hill Inc., 1995.
  - Shapiro, L. and Stockman, G.; *Computer Vision*, Prentice Hall, 2000.